

ВЛИЯНИЕ ДИАФРАГМ ЖЕСТКОСТИ НА РАСПРЕДЕЛЕНИЕ УСИЛИЙ В КАРКАСАХ ЗДАНИЙ ПРИ УЧЕТЕ ФАКТОРА ПРОГРЕССИРУЮЩЕГО РАЗРУШЕНИЯ

Шаповалов А.Н., Руденко В.В.

Харьковская национальная академия городского хозяйства
г. Харьков, Украина

АННОТАЦІЯ: У статті розглядається вплив діафрагм жорсткості на розподіл зусиль M , N та Q при різноманітних варіантах видалення колон в моделі семиповерхової чотирьохпрольотної будівлі з розмірами в плані 2×2 м і чарунками колон $0,5 \times 0,5$ м. Відмічено найбільш несприятливий розподіл зусиль у схемах каркасу з несиметричним розташуванням діафрагм жорсткості.

АННОТАЦИЯ: В статье рассматривается влияние диафрагм жесткости на распределение усилий M , N и Q при различных вариантах удаления колонн в модели семиэтажного четырехпролетного здания с размерами в плане 2×2 м и ячейкой колонн $0,5 \times 0,5$ м. Отмечено наиболее неблагоприятное распределение усилий в схемах каркаса с несимметричным расположением диафрагм жесткости.

ABSTRACT: The variants of delete the diaphragms of inflexibility on distributing of efforts M , N and Q at the different variants of delete the columns in the model of 7- floors fourflight building with sizes in the plan of 2×2 m and cell of columns $0,5 \times 0,5$ m are examined. Most unfavorable distributing of efforts in the charts framework with the asymmetrical location the inflexibility diaphragms is marked.

КЛЮЧЕВЫЕ СЛОВА: прогрессирующее разрушение, изменение усилий, диафрагма жесткости.

В настоящее время перед проектантами, строителями, а также разработчиками программного обеспечения остро стоит проблема оценки несущей способности каркаса и отдельных элементов перекрытий многоэтажных зданий с учетом эффекта прогрессирующего разрушения.

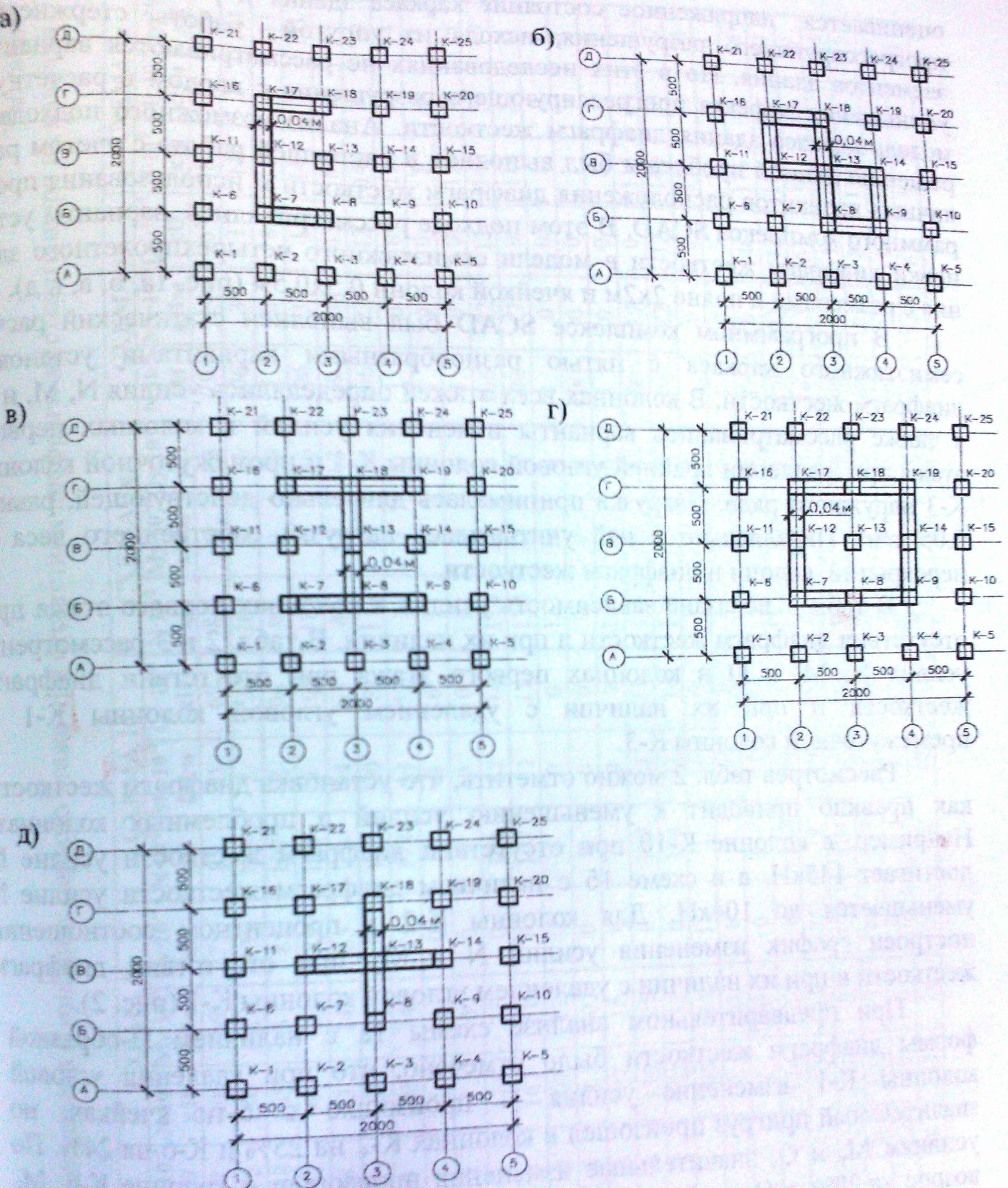


Рис. 1. Схемы расположения диафрагм жесткости

Этому вопросу посвящены отдельные исследования и расчетные положения такие, как: материалы исследований Перельмутера А.В.[1], Алмазова В.О.[2], Скорука Л.И.[3], Шапиро Г.И.[4] и других. В этих работах

оценивается напряженное состояние каркаса здания и развитие процесса прогрессирующего разрушения, исходя из упругой работы стержневых элементов здания. Но в этих исследованиях не рассматриваются варианты уменьшения эффекта прогрессирующего разрушения с вводом в расчетную модель каркаса здания диафрагм жесткости. Анализ возможного подхода к решению данной проблемы был выполнен в настоящей работе с учетом различных вариантов расположения диафрагм жесткости и использования программного комплекса SCAD. В этом подходе рассматривались варианты установки диафрагм жесткости в модели семиэтажного четырехпролетного здания с размерами в плане 2x2м и ячейкой колонн 0,5x0,5м (рис. 1а, б, в, г, д).

В программном комплексе SCAD был выполнен статический расчет семиэтажного каркаса с пятью разнообразными вариантами установки диафрагм жесткости. В колоннах всех этажей определялись усилия N , M , и Q , а также рассматривались варианты изменения усилий в колоннах первого этажа при удалении крайней угловой колонны К-1 и промежуточной колонны К-3 наружного ряда. Нагрузка принималась длительно действующей, равной 0,05 т/м². Параллельно с ней учитывалась нагрузка собственного веса и перекрытий, колонн и диафрагм жесткости.

В табл. 1 показана зависимость усилий в колоннах первого этажа при отсутствии диафрагм жесткости и при их наличии. В табл. 2 и 3 рассмотрены усилия N , M , и Q в колоннах первого этажа при отсутствии диафрагм жесткости и при их наличии с удалением угловой колонны К-1 и промежуточной колонны К-3.

Рассмотрев табл. 2 можно отметить, что установка диафрагм жесткости как правило приводит к уменьшению усилий в проблемных колоннах. Например, в колонне К-10 при отсутствии диафрагм жесткости усилие N достигает 145кН, а в схеме 1б с наличием диафрагм жесткости усилие N уменьшается до 104кН. Для колонны К-2 в процентном соотношении построен график изменения усилий N и M_u при отсутствии диафрагм жесткости и при их наличии с удалением угловой колонны К-1 (рис. 2).

При предварительном анализе схемы 1а с наличием П-образной формы диафрагм жесткости было отмечено, что при удалении угловой колонны К-1 изменение усилия N произошло в 6-ти ячейках, значительный пригруз произошел в колоннах К-2 на 25% и К-6 на 24%. По усилиям M_u и Q_u значительные изменения произошли в колонне К-6: M_u возрос на 20%, а Q_u на 21%. В свою очередь, при удалении промежуточной колонны К-3 изменение усилия N произошло в 2-х ячейках, пригруз усилия N в колонне К-2 составил 16%, а в К-4 -21%. В остальных колоннах значительных изменений по усилиям N не произошло. Более существенное изменение произошло по значению усилия M_u в колонне К-2 на 90% (рис. 1а).

Таблица 1

Зависимость изменения усилий в колоннах первого этажа при отсутствии диафрагм жесткости и при их наличии

| № колоно- ны | БЕЗ Д.Ж. | | | СХЕМА 1а | | | СХЕМА 1б | | | СХЕМА 1в | | | СХЕМА 1г | | | СХЕМА 1д | | |
|--------------------|-----------------------|--------------------------|------------------------|-----------------------|--------------------------|------------------------|-----------------------|--------------------------|------------------------|-----------------------|--------------------------|------------------------|-----------------------|--------------------------|------------------------|-----------------------|--------------------------|------------------------|
| | N·10 ⁻² кН | My·10 ⁻⁴ кН·м | Qy·10 ⁻⁴ кН | N·10 ⁻² кН | My·10 ⁻⁴ кН·м | Qy·10 ⁻⁴ кН | N·10 ⁻² кН | My·10 ⁻⁴ кН·м | Qy·10 ⁻⁴ кН | N·10 ⁻² кН | My·10 ⁻⁴ кН·м | Qy·10 ⁻⁴ кН | N·10 ⁻² кН | My·10 ⁻⁴ кН·м | Qy·10 ⁻⁴ кН | N·10 ⁻² кН | My·10 ⁻⁴ кН·м | Qy·10 ⁻⁴ кН |
| 1 | 74 | 15 | 68 | 90 | 16 | 75 | 82 | 15 | 69 | 83 | 14 | 63 | 79 | 14 | 63 | 81 | 15 | 69 |
| 2 | 146 | 0 | 152 | 150 | 2 | 139 | 143 | 2 | 139 | 102 | 2 | 86 | 106 | 3 | 1 | 140 | 2 | 141 |
| 3 | 147 | 0 | 148 | 105 | 3 | 85 | 107 | 2 | 96 | 99 | 0 | 69 | 1 | 0 | 8 | 114 | 0 | 113 |
| 4 | 146 | 0 | 152 | 99 | 3 | 85 | 104 | 3 | 100 | 102 | 2 | 86 | 106 | 3 | 1 | 140 | 2 | 141 |
| 5 | 74 | 15 | 68 | 83 | 14 | 63 | 79 | 14 | 63 | 83 | 14 | 63 | 79 | 14 | 63 | 81 | 15 | 69 |
| 6 | 146 | 33 | 4 | 162 | 32 | 0 | 143 | 30 | 8 | 114 | 22 | 0 | 106 | 22 | 12 | 140 | 30 | 10 |
| 7 | 265 | 0 | 0 | 208 | 14 | 15 | 178 | 11 | 52 | 1 | 0 | 0 | 1 | 0 | 0 | 176 | 12 | 54 |
| 8 | 273 | 0 | 1 | 1 | 0 | 0 | 1 | 0 | 0 | 1 | 0 | 0 | 1 | 0 | 0 | 1 | 0 | 0 |
| 9 | 265 | 0 | 0 | 1 | 0 | 0 | 1 | 0 | 0 | 1 | 0 | 0 | 1 | 0 | 0 | 176 | 12 | 54 |
| 10 | 146 | 33 | 4 | 114 | 22 | 0 | 104 | 22 | 14 | 114 | 22 | 0 | 106 | 22 | 12 | 140 | 30 | 10 |
| 11 | 147 | 32 | 0 | 167 | 31 | 0 | 107 | 21 | 11 | 139 | 25 | 0 | 100 | 17 | 0 | 114 | 24 | 0 |
| 12 | 273 | 0 | 0 | 203 | 17 | 0 | 1 | 0 | 0 | 123 | 14 | 0 | 1 | 0 | 0 | 1 | 0 | 0 |
| 13 | 283 | 0 | 0 | 1 | 0 | 0 | 1 | 0 | 0 | 1 | 0 | 0 | 100 | 0 | 0 | 1 | 0 | 0 |
| 14 | 273 | 0 | 0 | 122 | 15 | 0 | 1 | 0 | 0 | 123 | 14 | 0 | 1 | 0 | 0 | 1 | 0 | 0 |
| 15 | 147 | 32 | 0 | 139 | 25 | 0 | 107 | 21 | 11 | 139 | 25 | 0 | 100 | 17 | 0 | 114 | 24 | 0 |
| 16 | 146 | 33 | 4 | 162 | 32 | 0 | 104 | 22 | 14 | 114 | 22 | 0 | 106 | 22 | 12 | 140 | 30 | 10 |
| 17 | 265 | 0 | 0 | 208 | 14 | 15 | 1 | 0 | 0 | 1 | 0 | 0 | 1 | 0 | 0 | 176 | 12 | 54 |
| 18 | 273 | 0 | 1 | 1 | 0 | 0 | 1 | 0 | 0 | 1 | 0 | 0 | 1 | 0 | 0 | 1 | 0 | 0 |
| 19 | 265 | 0 | 0 | 1 | 0 | 0 | 178 | 11 | 52 | 1 | 0 | 0 | 1 | 0 | 0 | 176 | 12 | 54 |
| 20 | 146 | 33 | 4 | 114 | 22 | 0 | 143 | 30 | 8 | 114 | 22 | 0 | 106 | 22 | 12 | 140 | 30 | 10 |
| 21 | 74 | 15 | 68 | 90 | 16 | 75 | 79 | 14 | 63 | 83 | 14 | 63 | 79 | 14 | 63 | 81 | 15 | 69 |
| 22 | 146 | 0 | 152 | 150 | 2 | 139 | 104 | 3 | 100 | 102 | 2 | 86 | 106 | 3 | 1 | 140 | 2 | 141 |
| 23 | 147 | 0 | 148 | 105 | 3 | 85 | 107 | 2 | 96 | 99 | 0 | 69 | 100 | 0 | 8 | 114 | 0 | 113 |
| 24 | 146 | 0 | 152 | 99 | 3 | 85 | 143 | 2 | 139 | 102 | 2 | 86 | 106 | 3 | 1 | 140 | 2 | 141 |
| 25 | 74 | 15 | 68 | 83 | 14 | 63 | 82 | 15 | 69 | 83 | 14 | 63 | 79 | 14 | 63 | 81 | 15 | 69 |

Таблица 2

Зависимость изменения усилий в колоннах первого этажа при отсутствии диафрагм жесткости и при их наличии с удалением угловой колонны К-1

| № колонны | БЕЗ Д.Ж. | | | СХЕМА 1а | | | СХЕМА 1б | | | СХЕМА 1в | | | СХЕМА 1г | | | СХЕМА 1д | | |
|--------------|--------------------------|-----------------------------|---------------------------|--------------------------|-----------------------------|---------------------------|--------------------------|-----------------------------|---------------------------|--------------------------|-----------------------------|---------------------------|--------------------------|-----------------------------|---------------------------|--------------------------|-----------------------------|---------------------------|
| | N·10 ⁻² кН | Mу·10 ⁻⁴ кН·м | Qу·10 ⁻⁴ кН | N·10 ⁻² кН | Mу·10 ⁻⁴ кН·м | Qу·10 ⁻⁴ кН | N·10 ⁻² кН | Mу·10 ⁻⁴ кН·м | Qу·10 ⁻⁴ кН | N·10 ⁻² кН | Mу·10 ⁻⁴ кН·м | Qу·10 ⁻⁴ кН | N·10 ⁻² кН | Mу·10 ⁻⁴ кН·м | Qу·10 ⁻⁴ кН | N·10 ⁻² кН | Mу·10 ⁻⁴ кН·м | Qу·10 ⁻⁴ кН |
| 2 | 192 | 32 | 192 | 201 | 38 | 176 | 191 | 35 | 178 | 146 | 35 | 120 | 151 | 34 | 137 | 189 | 35 | 180 |
| 3 | 146 | 3 | 146 | 104 | 0 | 76 | 105 | 0 | 88 | 98 | 2 | 63 | 98 | 2 | 74 | 112 | 2 | 105 |
| 4 | 147 | 2 | 158 | 99 | 3 | 86 | 104 | 3 | 100 | 101 | 2 | 86 | 106 | 2 | 100 | 140 | 2 | 141 |
| 5 | 74 | 15 | 72 | 83 | 14 | 63 | 79 | 14 | 63 | 83 | 14 | 63 | 79 | 14 | 63 | 81 | 15 | 68 |
| 6 | 192 | 40 | 139 | 214 | 40 | 171 | 191 | 38 | 162 | 158 | 29 | 153 | 151 | 30 | 158 | 189 | 39 | 162 |
| 7 | 266 | 4 | 11 | 212 | 20 | 44 | 181 | 16 | 76 | 1 | 0 | 0 | 1 | 0 | 0 | 179 | 17 | 78 |
| 8 | 269 | 3 | 16 | 1 | 0 | 0 | 1 | 0 | 0 | 1 | 0 | 0 | 1 | 0 | 0 | 1 | 0 | 0 |
| 9 | 264 | 3 | 12 | 1 | 0 | 0 | 1 | 0 | 0 | 1 | 0 | 0 | 1 | 0 | 0 | 176 | 12 | 55 |
| 10 | 145 | 33 | 3 | 114 | 22 | 0 | 104 | 22 | 14 | 114 | 22 | 0 | 106 | 22 | 12 | 140 | 31 | 10 |
| 11 | 146 | 30 | 16 | 165 | 29 | 10 | 105 | 19 | 0 | 137 | 23 | 10 | 98 | 16 | 10 | 112 | 23 | 10 |
| 12 | 269 | 3 | 18 | 199 | 16 | 5 | 1 | 0 | 0 | 120 | 13 | 6 | 1 | 0 | 0 | 1 | 0 | 0 |
| 13 | 281 | 3 | 12 | 1 | 0 | 0 | 1 | 0 | 0 | 1 | 0 | 0 | 1 | 0 | 0 | 1 | 0 | 0 |
| 14 | 273 | 2 | 11 | 122 | 15 | 0 | 1 | 0 | 0 | 123 | 14 | 0 | 1 | 0 | 0 | 1 | 0 | 0 |
| 15 | 146 | 32 | 6 | 139 | 25 | 0 | 107 | 21 | 11 | 139 | 25 | 0 | 100 | 17 | 0 | 114 | 24 | 0 |
| 16 | 147 | 33 | 9 | 162 | 62 | 2 | 104 | 22 | 12 | 114 | 22 | 2 | 106 | 22 | 11 | 140 | 31 | 8 |
| 17 | 264 | 3 | 11 | 207 | 14 | 14 | 1 | 0 | 0 | 1 | 0 | 0 | 1 | 0 | 0 | 176 | 12 | 53 |
| 18 | 273 | 3 | 10 | 1 | 0 | 0 | 1 | 0 | 0 | 1 | 0 | 0 | 1 | 0 | 0 | 1 | 0 | 0 |
| 19 | 265 | 3 | 11 | 1 | 0 | 0 | 178 | 11 | 52 | 1 | 0 | 0 | 1 | 0 | 0 | 176 | 12 | 54 |
| 20 | 144 | 33 | 10 | 114 | 22 | 0 | 143 | 30 | 8 | 114 | 22 | 0 | 106 | 22 | 12 | 140 | 30 | 9 |
| 21 | 74 | 14 | 65 | 90 | 16 | 76 | 79 | 14 | 64 | 83 | 14 | 64 | 79 | 14 | 64 | 81 | 15 | 69 |
| 22 | 145 | 2 | 146 | 149 | 2 | 140 | 104 | 3 | 100 | 102 | 2 | 86 | 106 | 3 | 100 | 140 | 2 | 142 |
| 23 | 146 | 2 | 142 | 105 | 3 | 86 | 107 | 2 | 96 | 99 | 0 | 70 | 100 | 0 | 80 | 114 | 0 | 113 |
| 24 | 144 | 3 | 146 | 99 | 3 | 85 | 143 | 2 | 139 | 102 | 2 | 86 | 106 | 3 | 100 | 140 | 2 | 141 |
| 25 | 73 | 15 | 64 | 83 | 14 | 63 | 82 | 15 | 69 | 83 | 14 | 63 | 79 | 14 | 63 | 81 | 15 | 69 |

Таблица 3

Зависимость изменения усилий в колоннах первого этажа при отсутствии диафрагм жесткости и при их наличии
с удалением промежуточной колонны К-3

| № колонны | БЕЗ Д.Ж. | | | СХЕМА 1а | | | СХЕМА 1б | | | СХЕМА 1в | | | СХЕМА 1г | | | СХЕМА 1д | | |
|--------------|--------------------------|-----------------------------|---------------------------|--------------------------|-----------------------------|---------------------------|--------------------------|-----------------------------|---------------------------|--------------------------|-----------------------------|---------------------------|--------------------------|-----------------------------|---------------------------|--------------------------|-----------------------------|---------------------------|
| | N·10 ⁻² кН | My·10 ⁻⁴ кН·м | Qy·10 ⁻⁴ кН | N·10 ⁻² кН | My·10 ⁻⁴ кН·м | Qy·10 ⁻⁴ кН | N·10 ⁻² кН | My·10 ⁻⁴ кН·м | Qy·10 ⁻⁴ кН | N·10 ⁻² кН | My·10 ⁻⁴ кН·м | Qy·10 ⁻⁴ кН | N·10 ⁻² кН | My·10 ⁻⁴ кН·м | Qy·10 ⁻⁴ кН | N·10 ⁻² кН | My·10 ⁻⁴ кН·м | Qy·10 ⁻⁴ кН |
| 1 | 73 | 12 | 66 | 90 | 14 | 69 | 81 | 13 | 64 | 83 | 12 | 59 | 78 | 12 | 59 | 79 | 13 | 64 |
| 2 | 199 | 35 | 209 | 178 | 20 | 164 | 174 | 21 | 167 | 126 | 18 | 105 | 132 | 17 | 121 | 174 | 22 | 172 |
| 4 | 199 | 35 | 209 | 125 | 19 | 106 | 133 | 19 | 123 | 126 | 18 | 105 | 132 | 17 | 121 | 174 | 22 | 172 |
| 5 | 73 | 12 | 66 | 83 | 12 | 59 | 78 | 12 | 59 | 83 | 12 | 59 | 78 | 12 | 59 | 79 | 13 | 64 |
| 6 | 142 | 31 | 9 | 160 | 31 | 0 | 140 | 29 | 6 | 112 | 21 | 3 | 104 | 21 | 10 | 138 | 29 | 8 |
| 7 | 273 | 7 | 11 | 208 | 11 | 30 | 178 | 8 | 66 | 1 | 0 | 0 | 1 | 0 | 0 | 176 | 8 | 69 |
| 8 | 328 | 0 | 174 | 1 | 0 | 0 | 1 | 0 | 0 | 1 | 0 | 0 | 1 | 0 | 0 | 1 | 0 | 0 |
| 9 | 273 | 7 | 11 | 1 | 0 | 0 | 1 | 0 | 0 | 1 | 0 | 0 | 1 | 0 | 0 | 176 | 8 | 69 |
| 10 | 142 | 31 | 9 | 112 | 21 | 3 | 102 | 21 | 11 | 112 | 21 | 3 | 104 | 21 | 10 | 138 | 29 | 8 |
| 11 | 146 | 32 | 10 | 167 | 31 | 0 | 107 | 21 | 11 | 139 | 25 | 0 | 100 | 17 | 0 | 114 | 24 | 0 |
| 12 | 270 | 0 | 24 | 201 | 17 | 3 | 1 | 0 | 0 | 123 | 14 | 0 | 1 | 0 | 0 | 1 | 0 | 0 |
| 13 | 280 | 0 | 32 | 1 | 0 | 0 | 1 | 0 | 0 | 1 | 0 | 0 | 99 | 0 | 4 | 1 | 0 | 0 |
| 14 | 270 | 0 | 24 | 121 | 15 | 0 | 1 | 0 | 6 | 123 | 14 | 0 | 1 | 0 | 0 | 1 | 0 | 0 |
| 15 | 146 | 32 | 10 | 139 | 25 | 0 | 107 | 21 | 10 | 139 | 25 | 0 | 100 | 17 | 0 | 114 | 24 | 0 |
| 16 | 146 | 33 | 13 | 162 | 32 | 0 | 104 | 22 | 13 | 114 | 22 | 0 | 106 | 22 | 12 | 141 | 30 | 9 |
| 17 | 264 | 0 | 17 | 207 | 14 | 15 | 1 | 0 | 0 | 1 | 0 | 0 | 1 | 0 | 0 | 176 | 12 | 54 |
| 18 | 272 | 0 | 16 | 1 | 0 | 0 | 1 | 0 | 0 | 1 | 0 | 0 | 1 | 0 | 0 | 176 | 12 | 54 |
| 19 | 264 | 0 | 17 | 1 | 0 | 0 | 178 | 11 | 52 | 1 | 0 | 0 | 1 | 0 | 0 | 1 | 0 | 0 |
| 20 | 146 | 33 | 13 | 114 | 22 | 0 | 143 | 30 | 7 | 114 | 22 | 0 | 106 | 22 | 12 | 141 | 30 | 9 |
| 21 | 73 | 15 | 63 | 90 | 16 | 75 | 79 | 14 | 64 | 83 | 14 | 564 | 79 | 14 | 64 | 81 | 15 | 69 |
| 22 | 144 | 0 | 142 | 150 | 2 | 139 | 104 | 3 | 100 | 102 | 2 | 86 | 106 | 3 | 100 | 140 | 2 | 141 |
| 23 | 145 | 0 | 139 | 105 | 3 | 85 | 107 | 2 | 96 | 99 | 0 | 70 | 100 | 0 | 80 | 114 | 0 | 113 |
| 24 | 144 | 0 | 142 | 99 | 3 | 85 | 143 | 2 | 139 | 102 | 2 | 86 | 106 | 3 | 100 | 140 | 2 | 141 |
| 25 | 73 | 15 | 63 | 83 | 14 | 64 | 82 | 15 | 69 | 83 | 14 | 64 | 79 | 14 | 64 | 81 | 15 | 69 |

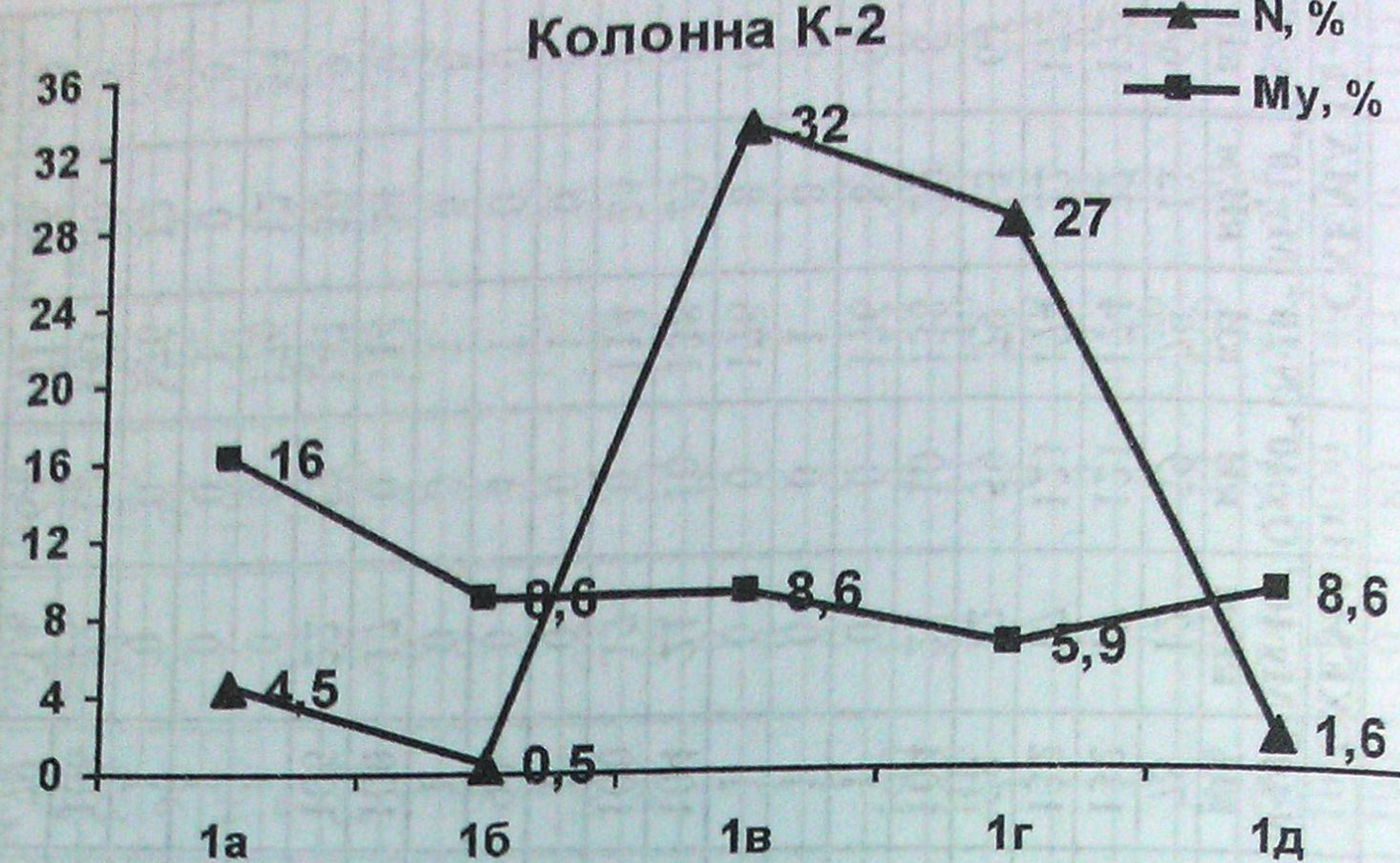


Рис. 2. График изменения усилий N и M_y при отсутствии диафрагм жесткости и при их наличии с удалением угловой колонны K-1

Анализируя изменение усилия N в схеме 1б при удалении угловой колонны K-1 необходимо отметить, что значительный рост этого усилия происходит в пределах 2-х ячеек, а именно в колоннах K-2 и K-6 на 25%, а колонна K-3 разгружается в пределах 2%. Удаление промежуточной колонны K-3 в данной схеме с симметричным расположением диафрагм жесткости приводит к изменению усилия N в колонне K-2 на 18%, а в колонне K-4 на 22%. M_y в колонне K-2 увеличился до 94%, а в K-6 до 21%, в остальных колоннах первого этажа усилие M_y изменилось незначительно, в пределах 16% (рис. 1б).

С наличием диафрагм жесткости в схеме 1в при удалении колонны K-1 наибольшее увеличение усилия N пришлось на колонну K-6 - 28%. В целом изменение по усилию N наблюдается в пяти ячейках, расположенных вблизи от удаленной колонны, и чем дальше ячейка расположена от эпицентра разрушения, тем меньше изменяются усилия в колоннах, находящихся в ней. При варианте удаления промежуточной колонны K-3 наблюдается рост усилия N в колоннах K-2 и K-4 на 19%. По усилиям M_y и Q_y происходит рост усилий в симметричных колоннах K-2 и K-4 - M_y на 89%, а Q_y на 18% (рис. 1в).

Например, анализируя вариант установки диафрагм жесткости по периметру в схеме 1г, при удалении колонны K-1 наблюдается увеличение усилия N в трех ячейках, а особое влияние приходится на колонны K-2 и K-6 - 30%, при этом M_y в колонне K-2 возрос до 2%, а в K-6 до 6%. В свою очередь, Q_y в данных колоннах увеличился до 7 %. Рассматривая вариант удаления промежуточной колонны K-3 в данной схеме видно, что изменение по усилию N пришлось на 2 ячейки, а именно на колонну K-2 и K-4 - 20% роста (рис. 1г).

Схема 1д имеет крестообразный вариант установки диафрагм и она оказывается наиболее эффективной. В этом варианте удаление угловой колонны К-1 приводит к изменению усилия N в 4-х ячейках, но наибольший эффект роста усилия наблюдается в симметричных колоннах К-2 и К-6 до 6%. В колонне К-7 усилие N возрастает до 2%. При варианте удаления промежуточной колонны К-3 наблюдается изменение усилия N также в 4-х ячейках, но наибольший эффект роста усилия пришелся на колонны К-2 и К-4 всего лишь 10%, а в колоннах К-1 и К-5 произошла разгрузка до 3%. По M_y в колоннах К-2 и К-4 наблюдается рост усилия до 9%, а в колоннах К-1 и К-5 разгрузка составила 5% (рис. 1д).

Анализ приведенных пяти различных схем установки диафрагм жесткости позволяет сделать вывод, что наиболее выгодной с экономической и физической точки зрения является крестообразная схема установки диафрагм жесткости как для варианта удаления угловой колонны, так и для варианта удаления промежуточной колонны. В целом выполненный анализ говорит о том, что наличие диафрагм жесткости в каркасах многоэтажных зданий и сооружений приводит к маловероятному эффекту роста прогрессирующего обрушения, а в зависимости от рационально выбранной схемы установки диафрагм жесткости можно говорить о наименее уязвимых колоннах данного каркаса. Наибольшее влияние на изменение усилий N, M, и Q в колоннах первого этажа при удалении угловой или промежуточной колонн приходится на колонны, расположенные в одной ячейки с удаляемой колонной – до 90% роста усилий, а в колоннах, расположенных в последующих ячейках каркаса с наличием диафрагм жесткости изменения усилий N, M, и Q незначительны и колеблются от 2 до 5%, что для изменения несущей способности колонн будет несущественным.

ЛИТЕРАТУРА

1. Перельмутер А.В. О расчетах сооружений на прогрессирующее обрушение / А.В. Перельмутер // Вестник. – М.: МГСУ, 2008. - Вып.1. - С.119-128.
2. Алмазов В.О. Проблемы сопротивления зданий прогрессирующему обрушению / Алмазов В.О., Плотников А.И., Растиоргуев Б.С. // Вестник. – М.: МГСУ, 2011. - Вып.2. - С.15 - 20.
3. Скорук Л.Н. Расчет высотных зданий и сооружений с учетом сопротивления прогрессирующему обрушению / Л.Н. Скорук, А.А. Орлиогло // Материалы научно-технической конференции. – Киев, 2009. - С.1-15
4. Шапиро Г.И. Расчет железобетонных зданий на устойчивость против прогрессирующего обрушения с использованием ЭВМ-программы «ОМ СНИП ЖЕЛЕЗОБЕТОН» / Г.И. Шапиро, М.Б. Краковский // Бетон и железобетон, 2007. - Вып.6. - С.12-15.

Статья поступила в редакцию 21.02.2013 г.